

Annexe 1

N° du point						1	Coordonnées			X	Y	Z (m)
Type d'essai						puits		94533	49125	+165,00		
Profondeur du puits						2m						
<hr/>												
granulo		tamis	% pass	tamis	% pass							
pds initial	2180 g	40	100	1,25	42							
		25	96	0,63	34							
		20	87	0,4	30							
		16	87	0,163	22							
		8	72	0,08	17							
		6,3	68									
		2,5	52									
<hr/>												
sédimento		tamis	% pass	tamis	% pass							
% pass 80µ	76	75	74	12	66							
		55	73	8	60							
		38	71	6	50							
		25	72	4	44							
		17	69	1	26							
<hr/>												
picno (kN/m3)		Y_s	2,73									
<hr/>												
limites d'Atterberg		LL	27	LP	20	IP	7					
<hr/>												
ES (%)		ESV	36,48	ESP	30,05							
<hr/>												
teneur en eau (%)		w	14,43									
<hr/>												
Classification USCS :		argiles silteuses; sables et silts argileux										

Annexe 2

N° du point						2	Coordonnées			X	Y	Z (m)
Type d'essai						puits				94442	48841	+181,00
Profondeur du puits						2m						
granulo						tamis	% pass	tamis	% pass			
pds initial 918,5 g						40		1,25	97			
						25		0,63	97			
						20		0,4	96			
						16	100	0,163	94			
						8	100	0,08	92			
						6,3	99					
						2,5	98					
sédimento						tamis	% pass	tamis	% pass			
% pass 80µ						75		12				
						55		8				
						38		6				
						25		4				
						17		1				
picno (kN/m3)						Y_s	2,63					
limites d'Atterberg						LL	LP	IP				
						47	32	15				
ES (%)						ESV	ESP					
						2,86	0,96					
teneur en eau (%)						w	14,17					
Classification USCS :						Silts organiques et inorganiques; argiles silteuses de faible plasticité; sables fins argileux ou silteux						

Annexe 3

Annexe 3						
N° du point	3	Coordonnées		X	Y	Z (m)
Type d'essai	puits			94294	48722	+201,00
Profondeur du puits	2m					
granulo	tamis	% pass	tamis	% pass		
pds initial 2180 g	40	100	1,25	92		
	25	99	0,63	91		
	20	98	0,4	91		
	16	97	0,163	91		
	8	94	0,08	91		
	6,3	93				
	2,5	92				
sédimento	tamis	% pass	tamis	% pass		
% pass 80µ	75		12			
	55		8			
	38		6			
	25		4			
	17		1			
picno (kN/m3)	Y_s	2,70				
limites d'Atterberg	LL	LP	IP			
	37	27	8			
ES (%)	ESV	ESP				
	18,30	17,43				
teneur en eau (%)	w	11,61				
Classification USCS :	argiles inorganiques de plasticité faible à moyenne; argiles graveleuses; argiles sableuses; argiles silteuses					

Annexe 4

Annexe 4						
N° du point	4	Coordonnées		X	Y	Z (m)
Type d'essai	puits			94023	49087	+186,00
Profondeur du puits	2m					
granulo	tamis	% pass	tamis	% pass		
pds initial	40		1,25			
	25		0,63			
	20		0,4			
	16		0,163			
	8		0,08			
	6,3					
	2,5					
sédimento	tamis	% pass	tamis	% pass		
% pass 80µ	75		12			
	55		8			
	38		6			
	25		4			
	17		1			
picno (kN/m3)	Y_s	2,70				
limites d'Atterberg	LL	LP	IP			
	33	22	11			
ES (%)	ESV	ESP				
	3,53	4,36				
teneur en eau (%)	w	17,87				
Classification USCS :	argiles inorganiques de plasticité faible à moyenne; argiles graveleuses; argiles sableuses; argiles silteuses					

Annexe 5

N° du point						5	Coordonnées			X	Y	Z (m)
Type d'essai						puits				93798	48939	+217,00
Profondeur du puits						2m						
granulo						tamis	% pass	tamis	% pass			
pds initial	5384 g					63	100	2,5	28			
						40	71	1,25	23			
						25	54	0,63	21			
						20	50	0,4	19			
						16	47	0,163	15			
						8	38	0,08	14			
						6,3	38					
sédimento						tamis	% pass	tamis	% pass			
% pass 80µ						75		12				
						55		8				
						38		6				
						25		4				
						17		1				
picno (kN/m3)						Y_s	2,67					
limites d'Atterberg						LL	LP	IP				
						35	23	12				
ES (%)						ESV	ESP					
						35,22	33,2					
teneur en eau (%)						w	21,51					
Classification USCS :						argiles inorganiques de plasticité moyenne						

Annexe 6

N° du point	6	Coordonnées	X	Y	Z (m)
Type d'essai	puits		94142	49340	+162,00
Profondeur du puits	2m				

granulo	tamis	% pass	tamis	% pass		
pds initial 4280 g	63	100	2,5	18		
	40	85	1,25	16		
	25	72	0,63	14		
	20	61	0,4	13		
	16	51	0,163	9		
	8	30	0,08	7		
	6,3	26				

sédimento	tamis	% pass	tamis	% pass		
% pass 80µ	75		12			
	55		8			
	38		6			
	25		4			
	17		1			

picno (kN/m3)	Y_s	2,7
----------------------	----------------------	-----

limites d'Atterberg	LL	LP	IP
	24	-	-

ES (%)	ESV	ESP
	21,4	17,53

teneur en eau (%)	w	11,71
--------------------------	----------	-------

Classification USCS : Graviers bien étalés; mélange de graviers et de sable; peu ou pas de particules fines - graviers silteux; mélange de graviers, de sable et de silts

Annexe 7

N° du point						7	Coordonnées			X	Y	Z (m)
Type d'essai						puits				94312	49548	+153,00
Profondeur du puits						1m - 2m						
granulo		tamis	% pass	tamis	% pass							
pds initial	10928 g	63		2,5	99							
		40		1,25	99							
		25		0,63	99							
		20		0,4	99							
		16		0,163	98							
		8		0,08	97							
		6,3										
sédimento		tamis	% pass	tamis	% pass							
% pass 80µ	97	75	83	12	52							
		55	76	8	45							
		38	72	6	32							
		25	60	4	24							
		17	56	1	14							
picno (kN/m3)		Y_s	2,65									
limites d'Atterberg		LL	LP	IP								
		30	25	5								
ES (%)		ESV	ESP									
		5,59	4,52									
teneur en eau (%)		w	20,79									
Classification USCS :		Silts organiques et inorganiques; argiles silteuses de faible plasticité; sables fins argileux ou silteux										

Annexe 8

N° du point						8	Coordonnées			X	Y	Z (m)
Type d'essai						puits				94020	48821	+206,00
Profondeur du puits						0,1m - 2m						
granulo						tamis	% pass	tamis	% pass			
pds initial 3672 g						63		2,5	34			
						40	100	1,25	29			
						25	87	0,63	25			
						20	82	0,4	23			
						16	73	0,163	19			
						8	53	0,08	17			
						6,3	48					
sédimento						tamis	% pass	tamis	% pass			
% pass 80µ						75		12				
						55		8				
						38		6				
						25		4				
						17		1				
picno (kN/m3)						Y_s	2,72					
limites d'Atterberg						LL	LP	IP				
						31	21	10				
ES (%)						ESV	ESP					
						18,52	17,79					
teneur en eau (%)						w	11,54					
Classification USCS :						Graviers argileux; mélange de graviers, de sable et d'argile						

Annexe 9

N° du point						9	Coordonnées			X	Y	Z (m)
Type d'essai						puits			93927	48592	+224,00	
Profondeur du puits						0,1m - 2m						
granulo						tamis	% pass	tamis	% pass			
pds initial	5152,3 g					80	70	6,3	30			
					63	-	2,5	23				
					40	49	1,25	19				
					25	46	0,63	16				
					20	44	0,4	14				
					16	40	0,163	10				
					8	32	0,08	8				
sédimento						tamis	% pass	tamis	% pass			
% pass 80µ						75		12				
					55		8					
					38		6					
					25		4					
					17		1					
picno (kN/m3)						Y_s	2,69					
limites d'Atterberg						LL	LP	IP				
					25	20	5					
ES (%)						ESV	ESP					
					28	26,86						
teneur en eau (%)						w	29,65					
Classification USCS :						Graviers bien étalés; mélange de graviers et de sable; peu ou pas de particules fines - graviers silteux; mélange de graviers, de sable et de silts						

Annexe 10

N° du point						10	Coordonnées			X	Y	Z (m)
Type d'essai						puits				93770	48430	+243,00
Profondeur du puits						0,1m - 2m						
granulo						tamis	% pass	tamis	% pass			
pds initial	3293 g					80		6,3	88			
						63		2,5	83			
						40	100	1,25	81			
						25	99	0,63	79			
						20	98	0,4	77			
						16	95	0,163	74			
						8	89	0,08	70			
sédimento						tamis	% pass	tamis	% pass			
% pass 80µ	70					75	67	12	52			
						55	66	8	46			
						38	64	6	38			
						25	60	4	32			
						17	58	1	18			
picno (kN/m3)						Y_s	2,7					
limites d'Atterberg						LL	LP	IP				
						36	27	9				
ES (%)						ESV	ESP					
						8,66	8,93					
teneur en eau (%)						w	29,43					
Classification USCS :						Silts organiques et inorganiques; argiles silteuses de faible plasticité; sables fins argileux ou silteux						

Annexe 11

N° du point	11	Coordonnées	X	Y	Z (m)
Type d'essai	puits		93327	48477	+295,00
Profondeur du puits	0,1m - 2m				

granulo	tamis	% pass	tamis	% pass		
pds initial	80		6,3			
	63		2,5			
	40		1,25			
	25		0,63			
	20		0,4			
	16		0,163			
	8		0,08			

sédimento	tamis	% pass	tamis	% pass		
% pass 80µ	92	75	88	12	63	
		55	85	8	57	
		38	79	6	48	
		25	74	4	36	
		17	66	1	28	

picno (kN/m3)	Y_s	2,66
----------------------	----------------------	------

limites d'Atterberg	LL	LP	IP
	29	22	7

ES (%)	ESV	ESP
	13,68	14,60

teneur en eau (%)	w	15,56
--------------------------	----------	-------

Classification USCS : argiles inorganiques de plasticité moyenne

Annexe 12

Annexe 12						
N° du point	12	Coordonnées		X	Y	Z (m)
Type d'essai	puits			94328	48477	+212,00
Profondeur du puits	0,1m - 2m					
granulo	tamis	% pass	tamis	% pass		
pds initial	80		6,3			
	63		2,5			
	40		1,25			
	25		0,63			
	20		0,4			
	16		0,163			
	8		0,08			
sédimento	tamis	% pass	tamis	% pass		
% pass 80µ	65	75	64	12	47	
		55	62	8	43	
		38	60	6	38	
		25	56	4	29	
		17	51	1	25	
picno (kN/m3)	Y_s					
limites d'Atterberg	LL	LP	IP			
	38	25	13			
ES (%)	ESV	ESP				
teneur en eau (%)	w	19,53				
Classification USCS : argiles inorganiques de plasticité moyenne						

Annexe 13

N° du point	13	Coordonnées	X	Y	Z (m)
Type d'essai	puits		93806	48291	+258,00
Profondeur du puits	0,1m - 2m				

granulo	tamis	% pass	tamis	% pass		
pds initial	80		6,3			
	63		2,5			
	40		1,25			
	25		0,63			
	20		0,4			
	16		0,163			
	8		0,08			

sédimento	tamis	% pass	tamis	% pass		
% pass 80µ	47	75	44	12	29	
		55	42	8	27	
		38	40	6	23	
		25	35	4	19	
		17	31	1	14	

picno (kN/m3)	Y_s	2,76
----------------------	----------------------	------

limites d'Atterberg	LL	LP	IP
	44	30	14

ES (%)	ESV	ESP

teneur en eau (%)	w	20,07
--------------------------	----------	-------

Classification USCS :	-
------------------------------	---

Annexe 14

N° du point	14	Coordonnées	X	Y	Z (m)
Type d'essai	puits		94770	48619	+174,00
Profondeur du puits	0,1m - 2m				

granulo	tamis	% pass	tamis	% pass		
pds initial	80		6,3			
	63		2,5			
	40		1,25			
	25		0,63			
	20		0,4			
	16		0,163			
	8		0,08			

sédimento	tamis	% pass	tamis	% pass		
% pass 80µ	71	75	68	12	41	
		55	65	8	33	
		38	62	6	27	
		25	55	4	21	
		17	47	1	12	

picno (kN/m3)	Y_s	2,76
----------------------	----------------------	------

limites d'Atterberg	LL	LP	IP
	30		

ES (%)	ESV	ESP

teneur en eau (%)	w	22,48
--------------------------	----------	-------

Classification USCS :	-
------------------------------	---

Annexe 15

Annexe 15						
N° du point	15	Coordonnées		X	Y	Z (m)
Type d'essai	puits			94433	48480	+194,00
Profondeur du puits	0,1m - 2m					
granulo	tamis	% pass	tamis	% pass		
pds initial	3180,3 g	80		6,3	68	
		63	100	2,5	63	
		40	95	1,25	61	
		25	80	0,63	59	
		20	77	0,4	57	
		16	75	0,163	51	
		8	70	0,08	47	
sédimento	tamis	% pass	tamis	% pass		
% pass 80µ	75		12			
	55		8			
	38		6			
	25		4			
	17		1			
picno (kN/m3)	Y_s					
limites d'Atterberg	LL	LP	IP			
	34	24	10			
ES (%)	ESV	ESP				
teneur en eau (%)	w	29,09				
Classification USCS :	Silts organiques et inorganiques; argiles silteuses de faible plasticité; sables fins argileux ou silteux					

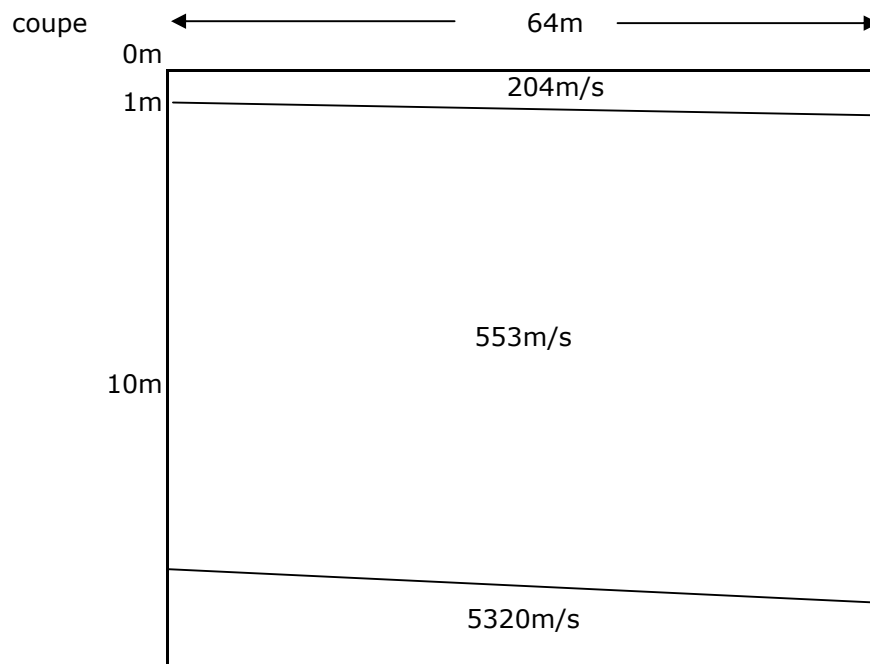
Annexe 16

N° du point						16	Coordonnées			X	Y	Z (m)
Type d'essai						puits			94338	48477	+212,00	
Profondeur du puits						0,1m - 2m						
granulo						tamis	% pass	tamis	% pass			
pds initial	3875,7 g					80	100	6,3	34			
					63	70	2,5	28				
					40	59	1,25	26				
					25	51	0,63	25				
					20	48	0,4	23				
					16	45	0,163	20				
					8	35	0,08	18				
sédimento						tamis	% pass	tamis	% pass			
% pass 80µ						75		12				
					55		8					
					38		6					
					25		4					
					17		1					
picno (kN/m3)						Y_s						
limites d'Atterberg						LL	LP	IP				
					38	29	9					
ES (%)						ESV	ESP					
teneur en eau (%)						w	10,40					
Classification USCS :						Silts organiques et inorganiques; argiles silteuses de faible plasticité; sables fins argileux ou silteux						

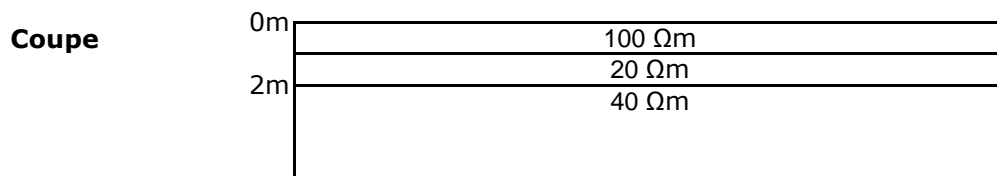
Annexe 17

N° du point	17	Coordonnées	X	Y	Z (m)
Type d'essai	géophysique		94310	48937	+183,00

sondage sismique	de	à	vitesse(m/s)
	0m	1m	204
	1m	10m	553
	au delà de 10m		5320



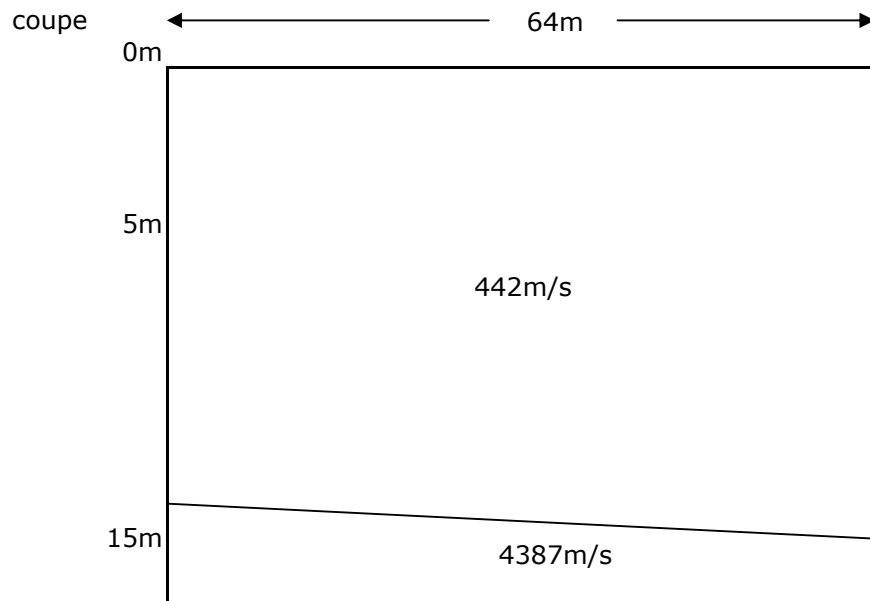
sondage électrique	de	à	résistivité (Ωm)
	0m	1m	100
	1m	2m	20
	au delà de 2m		40



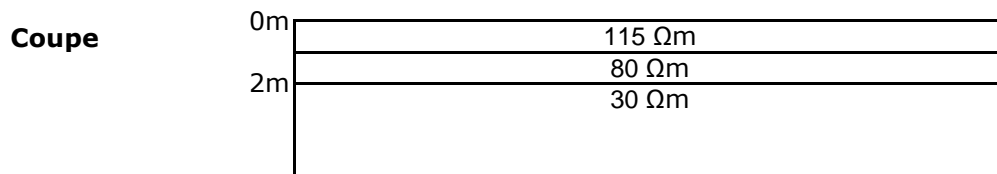
Annexe 18

N° du point	18	Coordonnées	X	Y	Z (m)
Type d'essai	géophysique		94267	48815	+195,00

sondage sismique	de	à	vitesse(m/s)
	0m	1m	442
	au delà de 1m		4387



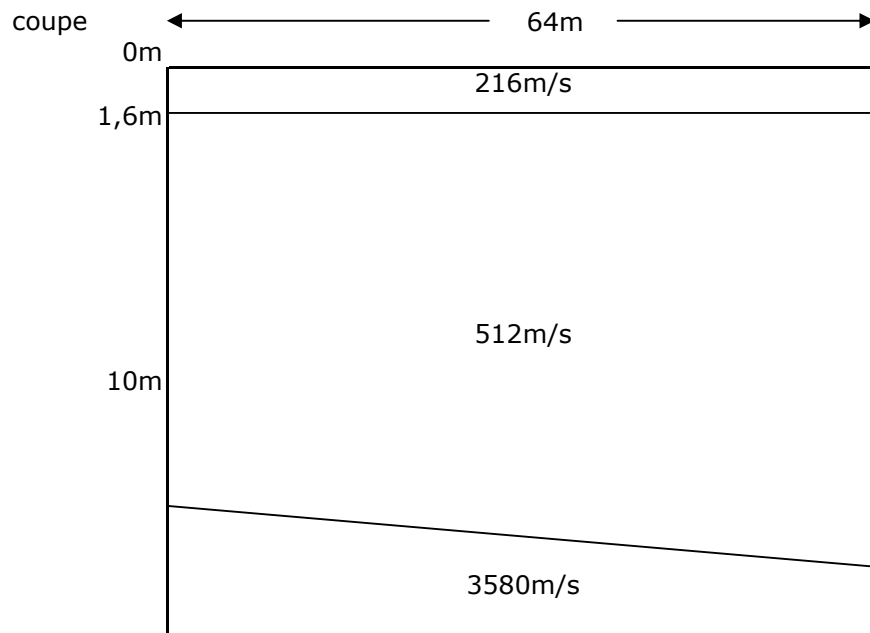
sondage électrique	de	à	résistivité (Ωm)
	0m	1m	115
	1m	2m	80
	au delà de 2m		30



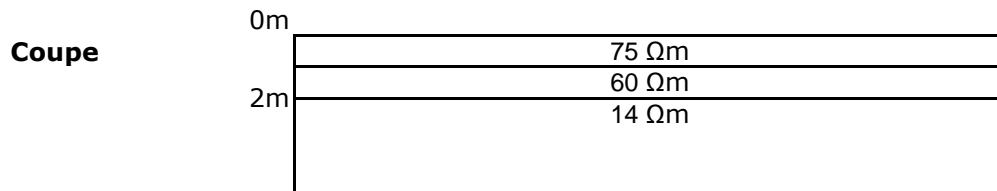
Annexe 19

N° du point	19	Coordonnées	X	Y	Z (m)
Type d'essai	géophysique		94085	49040	+186,00

sondage sismique	de	à	vitesse(m/s)
	0m	1m	216
	1m	10m	512
	au delà de 10m		3580



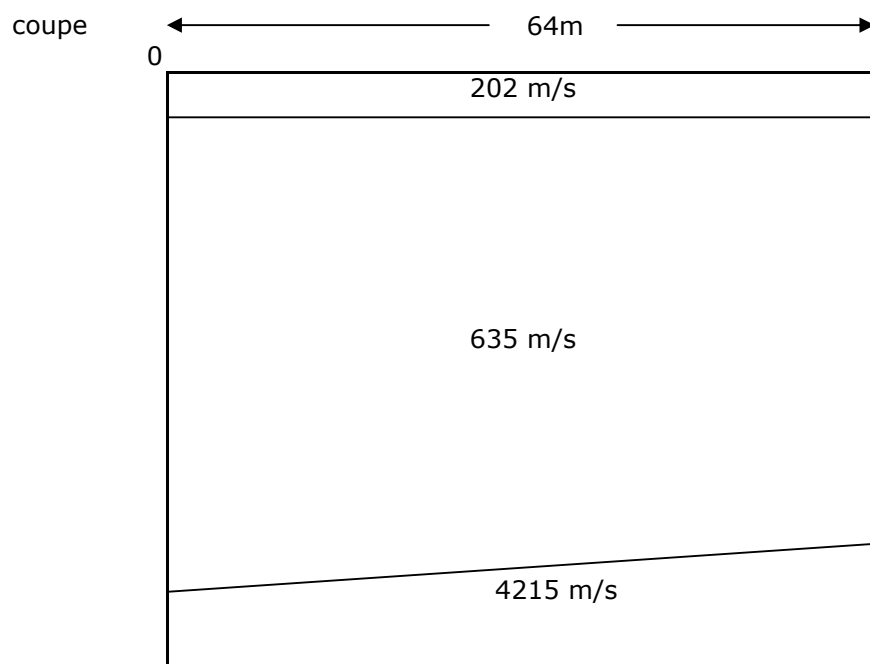
sondage électrique	de	à	résistivité (Ω/m)
	0m	1m	75
	1m	2m	60
	au delà de 2m		14



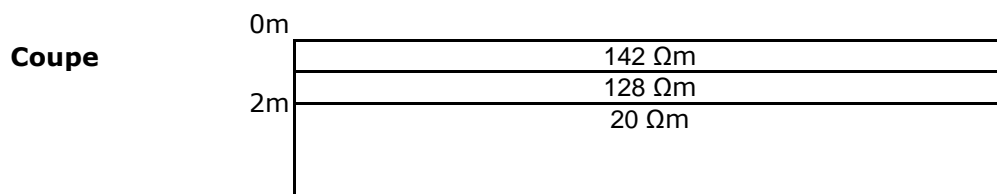
Annexe 20

N° du point	20	Coordonnées	X	Y	Z (m)
Type d'essai	géophysique		94078	48744	+207,00

sondage sismique	de	à	vitesse(m/s)
	0m	1m	202
	1m	10m	635
	au delà de 10m		4215



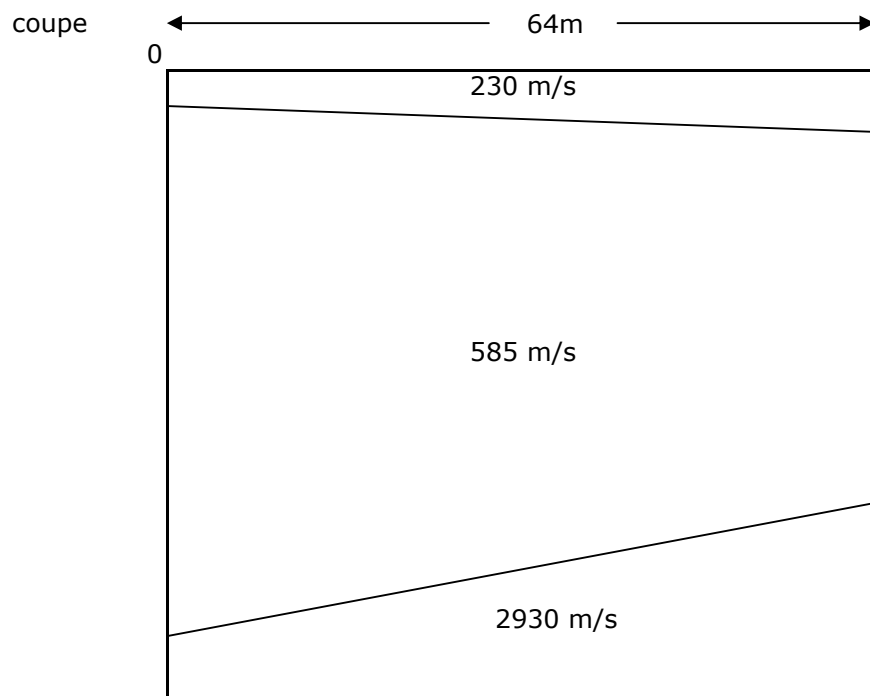
sondage électrique	de	à	résistivité (Ωm)
	0m	1m	142
	1m	2m	128
	au delà de 2m		20



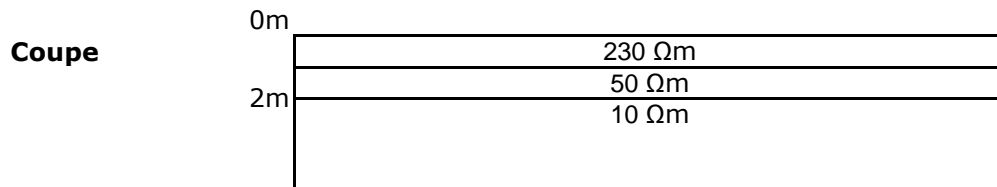
Annexe 21

N° du point	21	Coordonnées	X	Y	Z (m)
Type d'essai	géophysique		93917	48485	+229,00

sondage sismique	de	à	vitesse(m/s)
	0m	1m	230
	1m	10m	585
	au delà de 10m		2930



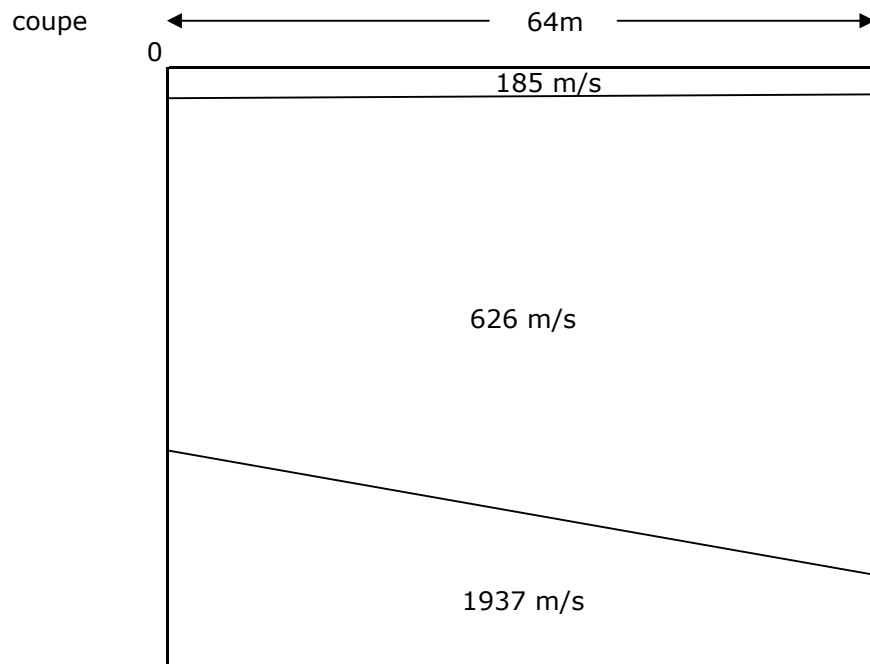
sondage électrique	de	à	résistivité (Ωm)
	0m	1m	230
	1m	2m	50
	au delà de 2m		10



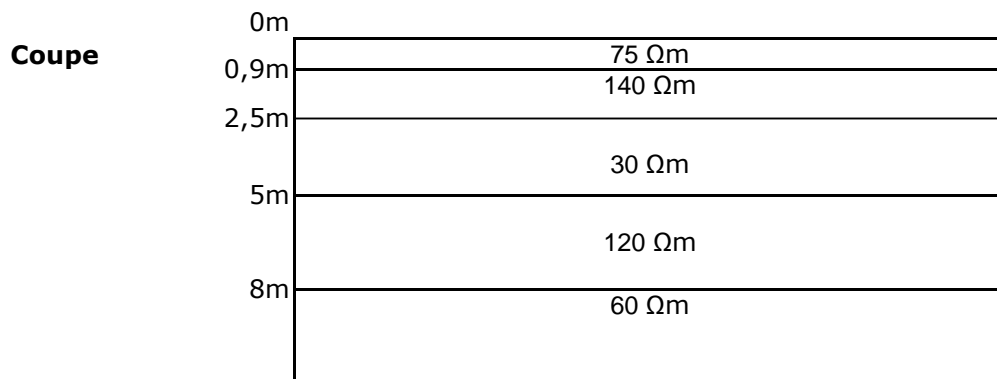
Annexe 22

N° du point	22	Coordonnées	X	Y	Z (m)
Type d'essai	géophysique		95506	48507	+162,00

sondage sismique	de	à	vitesse(m/s)
	0m	1m	185
	1m	2m	625
	au delà de 2m		1937



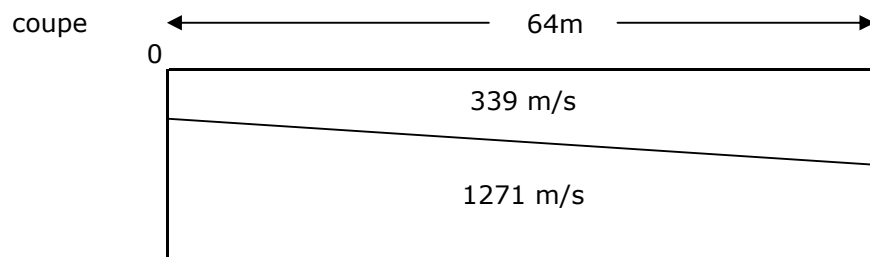
sondage électrique	de	à	résistivité (Ωm)
	0m	0,9m	75
	0,9m	2,5m	140
	2,5m	5m	30
	5m	8m	120
	au delà de 8m		60



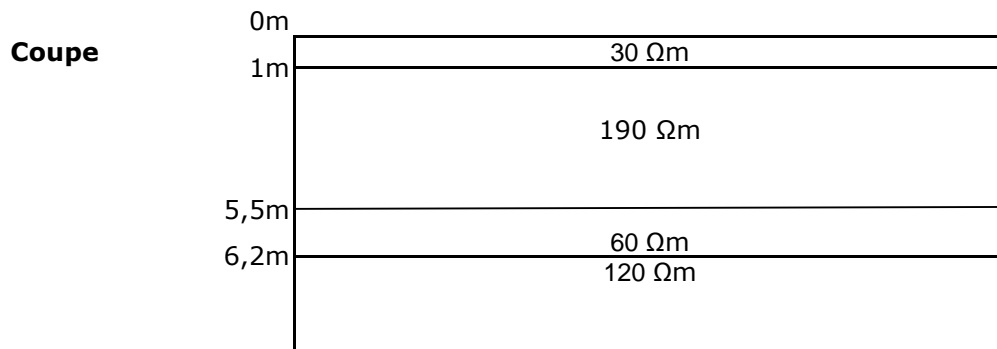
Annexe 23

N° du point	23	Coordonnées	X	Y	Z (m)
Type d'essai	géophysique		95708	48902	+166,00

sondage sismique	de	à	vitesse(m/s)
	0m	1m	339
	au delà de 1m		1271



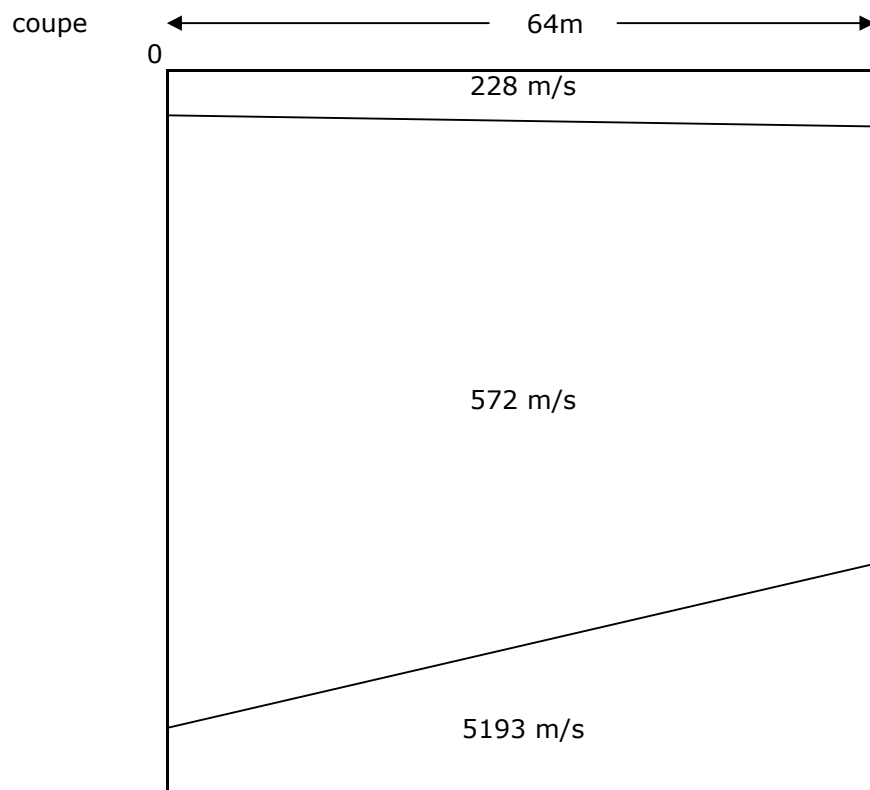
sondage électrique	de	à	résistivité (Ωm)
	0m	1m	30
	1m	5,5m	190
	5,5m	6,2m	60
	au delà de 6,2m		120



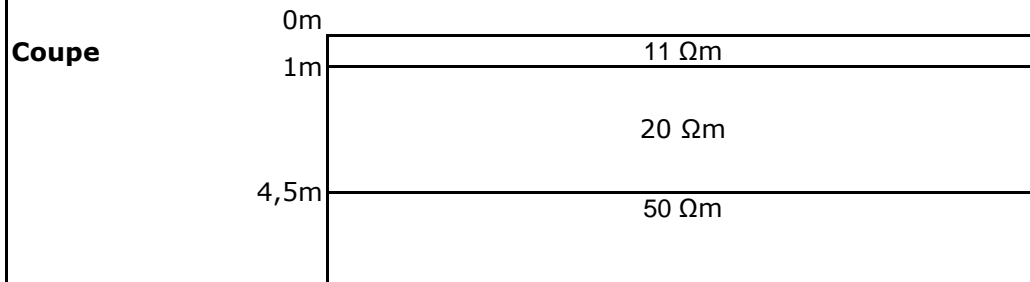
Annexe 24

N° du point	24	Coordonnées	X	Y	Z (m)
Type d'essai	géophysique		95593	49701	+154,00

sondage sismique	de	à	vitesse(m/s)
	0m	1m	228
	1m	2m	572
	au delà de 2m		5193



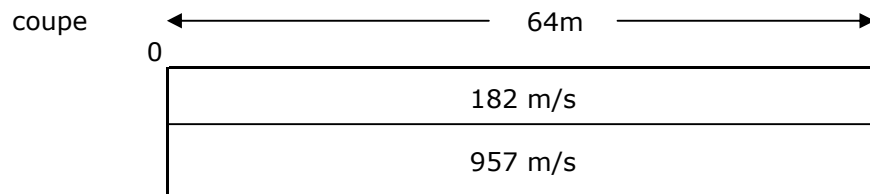
sondage électrique	de	à	résistivité (Ωm)
	0m	1m	11
	1m	4,5m	20
	au delà de 4,5m		50



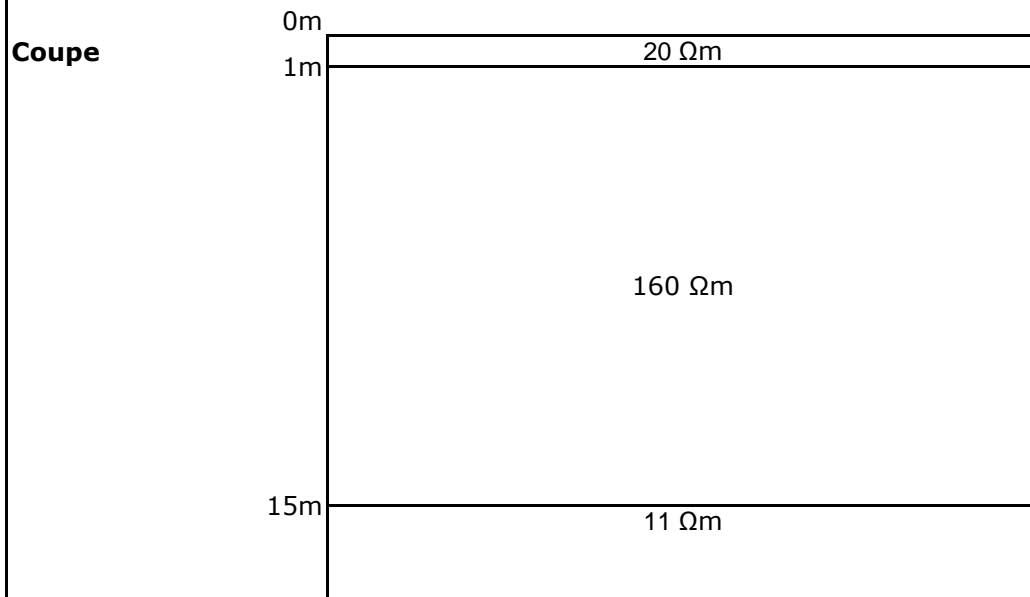
Annexe 25

N° du point	25	Coordonnées	X	Y	Z (m)
Type d'essai	géophysique		94800	50074	+135,00

sondage sismique	de	à	vitesse(m/s)
	0m	1m	182
	au delà de 1m		957



sondage électrique	de	à	résistivité (Ωm)
	0m	1m	20
	1m	15m	160
	au delà de 15m		11



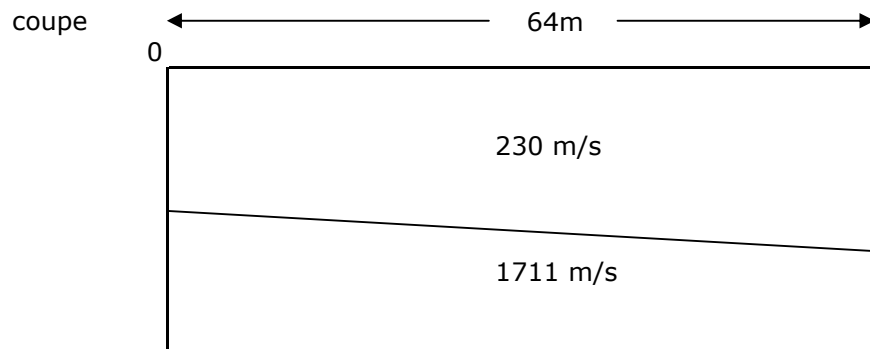
Annexe 26						
N° du point	26	Coordonnées		X	Y	Z (m)
Type d'essai	géophysique			95612	50699	+140,00
sondage sismique	de	à	vitesse(m/s)			
	0m	1m	127			
	1m	2m	353			
	au delà de 2m		7507			
<p>coupe</p>						
sondage électrique	de	à	résistivité (Ω m)			
	0m	2,5m	6			
	2,5m	17,5m	25			
	au delà de 17,5m		40			
<p>Coupe</p>						

Annexe 27						
N° du point	27	Coordonnées		X	Y	Z (m)
Type d'essai	géophysique			93717	50181	+135,00
sondage sismique	de	à	vitesse(m/s)			
	0m	1m	92			
	1m	2m	344			
	au delà de 2m		4265			
<p>coupe ← 64m →</p> <p>0</p> <p>92 m/s</p> <p>344 m/s</p> <p>4265 m/s</p>						
sondage électrique	de	à	résistivité (Ωm)			
	0m	2,5m	10			
	2,5m	7m	8			
	au delà de 7m		21			
<p>Coupe</p> <p>0m</p> <p>2,5m</p> <p>7m</p> <p>10 Ωm</p> <p>8 Ωm</p> <p>21 Ωm</p>						

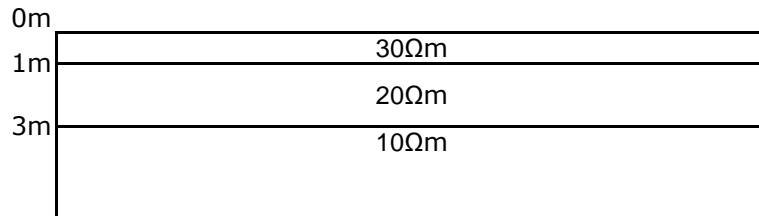
Annexe 28

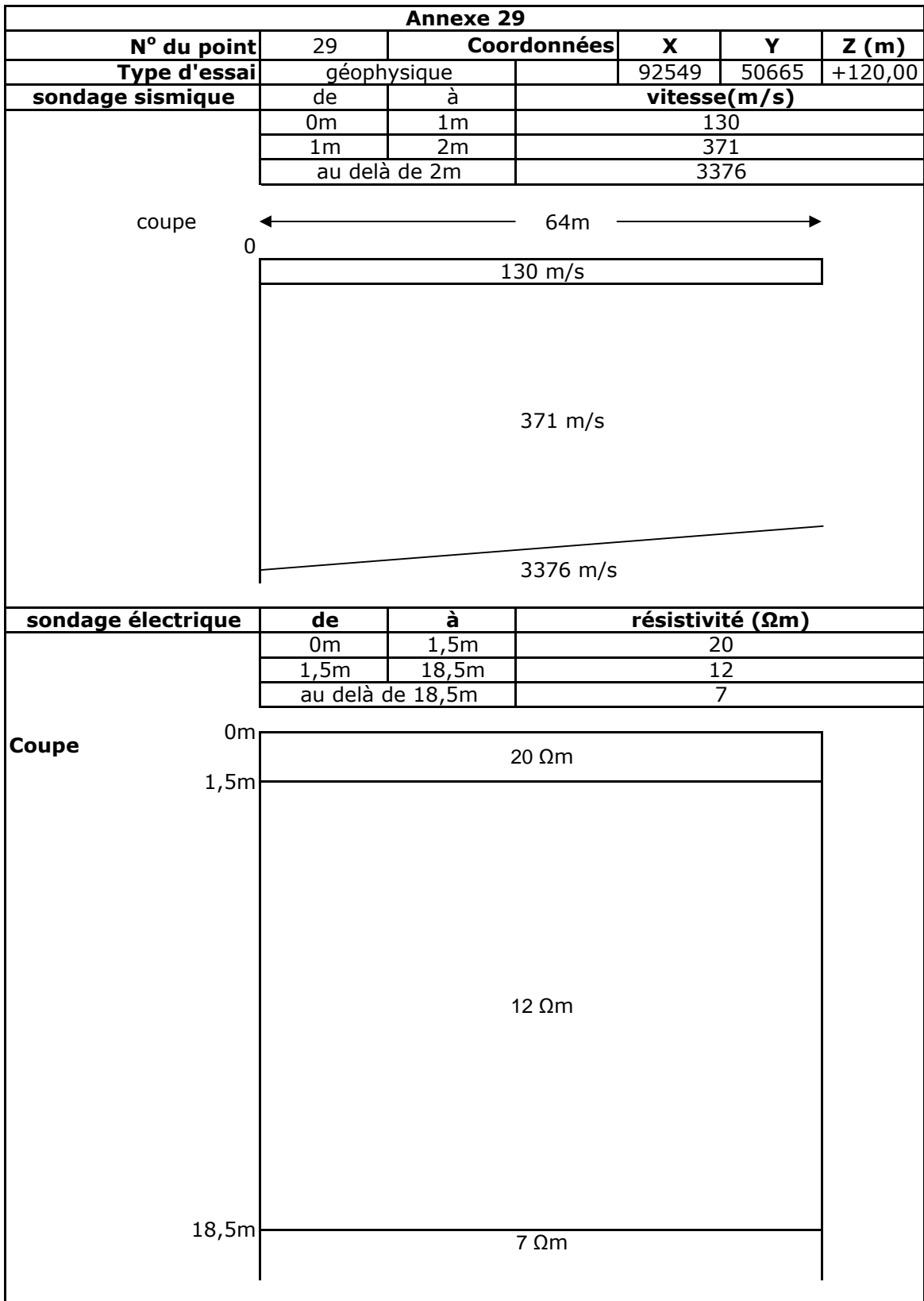
N° du point	28	Coordonnées	X	Y	Z (m)
Type d'essai	géophysique		93401	50506	+130,00

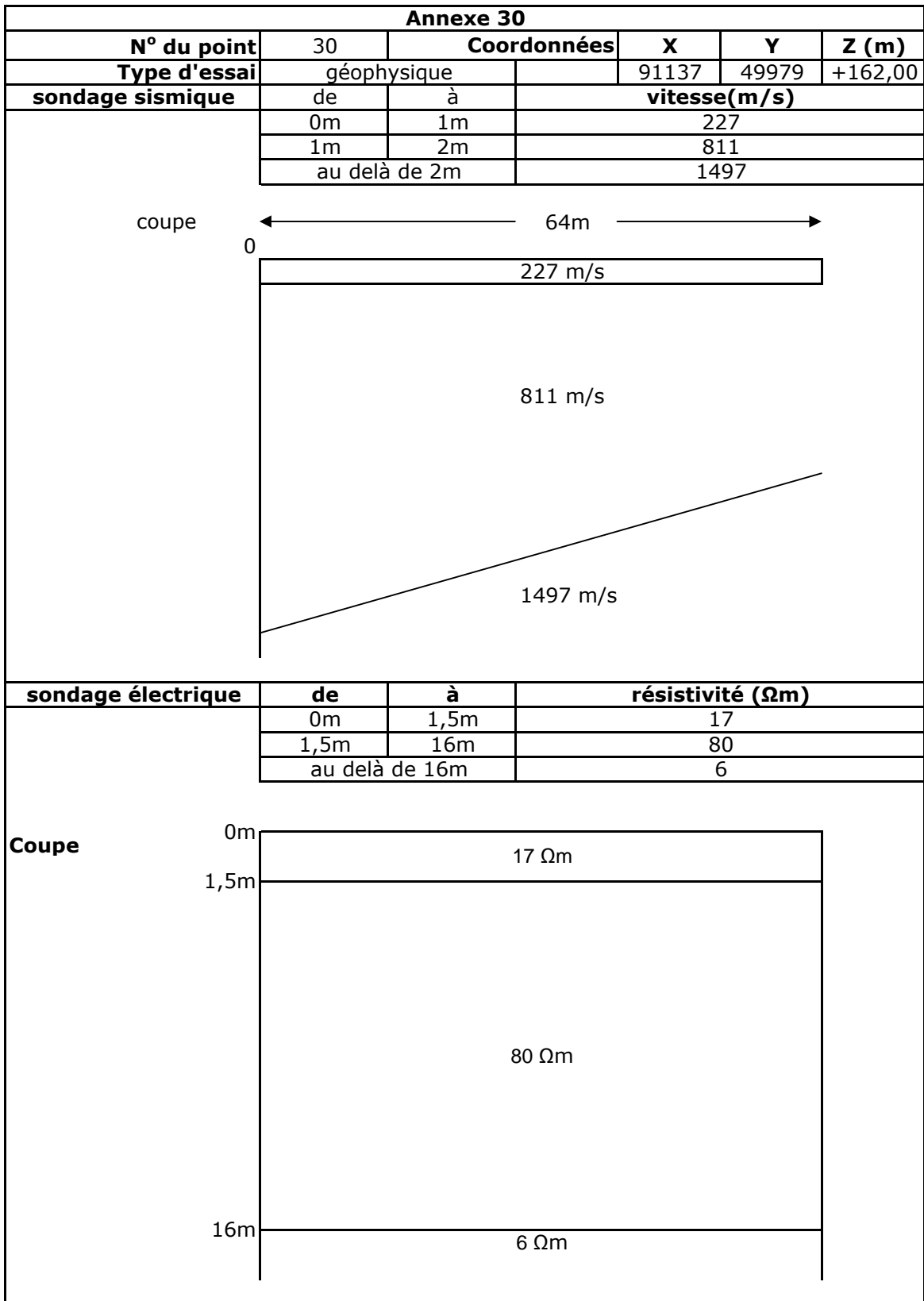
sondage sismique	de	à	vitesse(m/s)
	0m	1m	230
	au delà de 1m		1711



sondage électrique	de	à	résistivité (Ωm)
	0m	1m	30
	1m	3m	20
	au delà de 3m		10



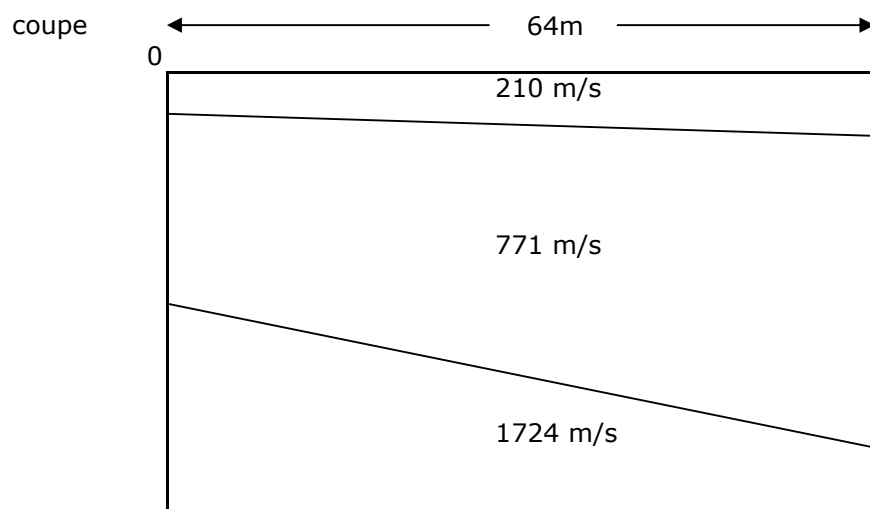




Annexe 31

N° du point	31	Coordonnées	X	Y	Z (m)
Type d'essai	géophysique		92886	48762	+295,00

sondage sismique	de	à	vitesse(m/s)
	0m	1m	210
	1m	10m	771
	au delà de 10m		1724



sondage électrique	de	à	résistivité (Ωm)
	0m	0.9m	6
	0.9m	10m	141
	au delà de 10m		0

